

Регулярный рандомизационный способ

Представленные в Таблице 1 и на графиках (Рис.1, Рис.2) варианты, построенные на основе регулярного рандомизационного способа (см. также нерегулярный рандомизационный способ), охватывают приложения, в том числе и реализации на основе нелинейных регистров с обратной связью – NFSR, с одной стороны, рассчитанные на среды с крайним дефицитом ресурса, порядка 175-250 логических элементов (GE, 4 транзистора), а с другой, на сверхскоростную обработку информационных потоков, с производительностью в десятки и сотни Гбит/сек.

Таблица 1

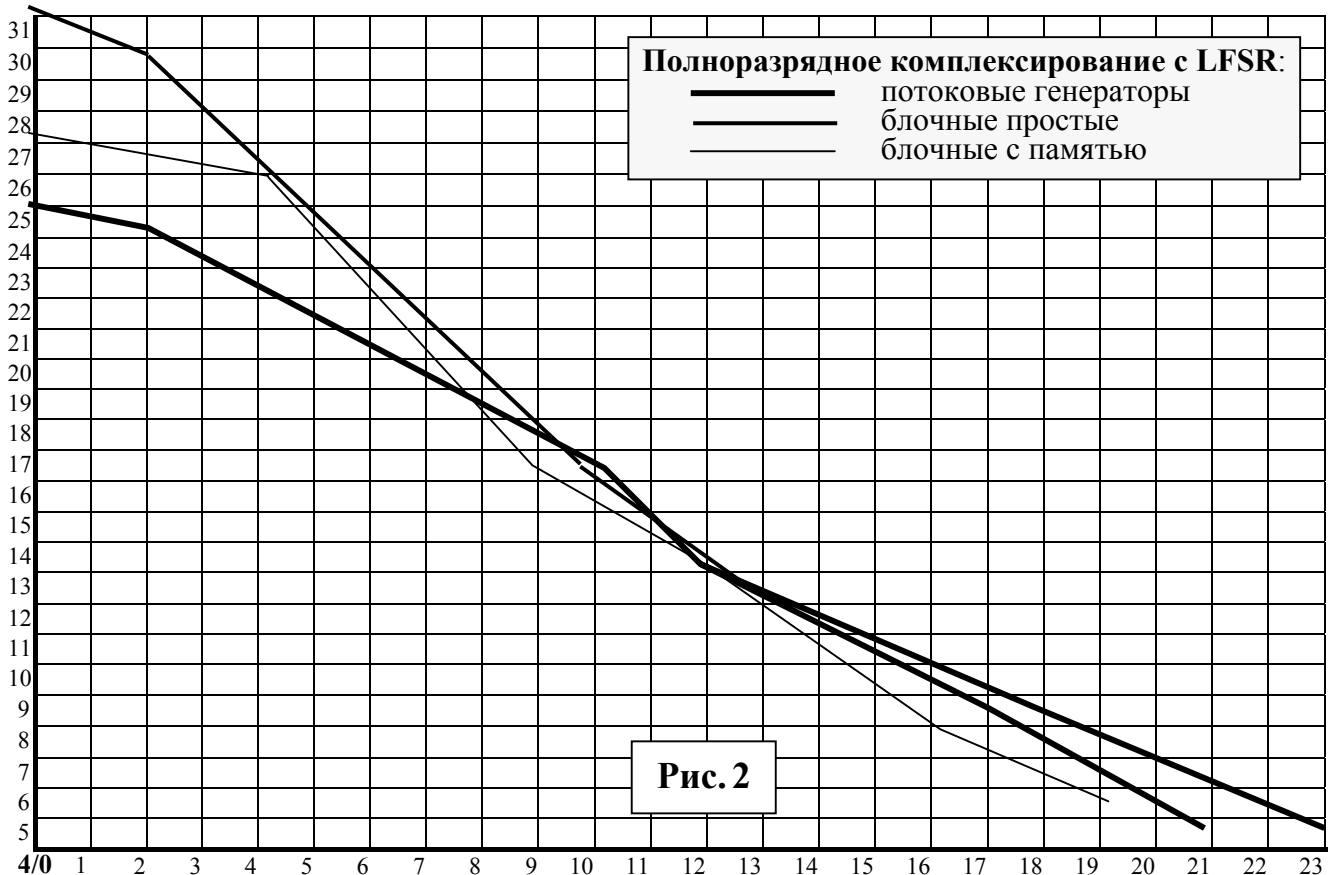
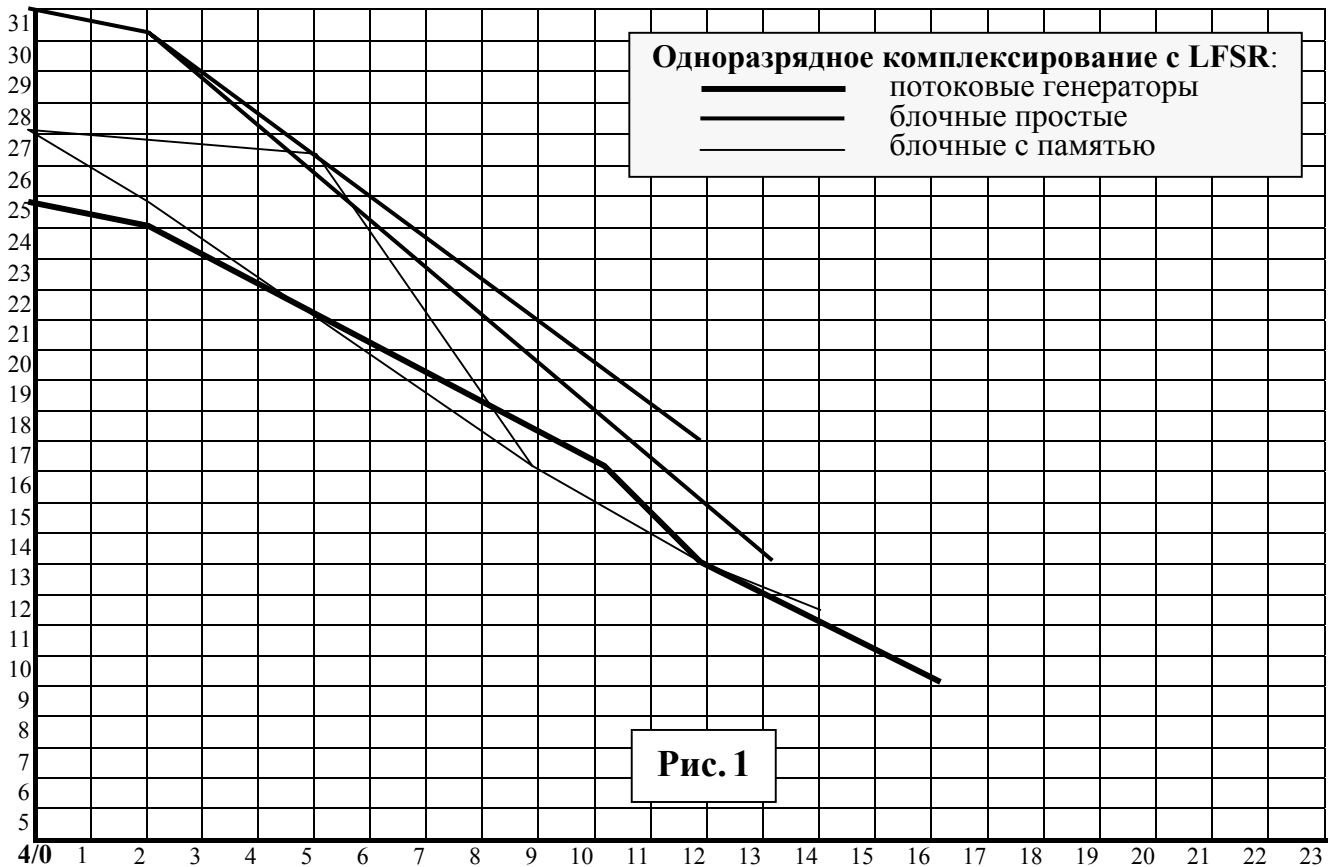
ОЦЕНКИ $n/\min\{k\}$ КОМПЛЕКСИРОВАНИЯ n-разрядных Dh-счетчиков и Dh-генераторов, с k-разрядными LFSR, удовлетворяющие статист. тестам DIEHARD									
КОМПЛЕКСИРОВАНИЕ ГЕНЕРАТОРОВ с гарантированным периодом $T_{n/k} = 2^n \cdot \max\{1, 2^k - 1\}$		ПОТОКОВЫЕ ВАРИАНТЫ	БЛОЧНЫЕ ВАРИАНТЫ						
			ПРОСТЫЕ		С ПАМЯТЬЮ n-БИТ				
		Число триггеров:	$2 \cdot n + k + 1$		$3 \cdot n + k + 1$				
ОДНО РАЗЯДНОЕ	<i>Dh</i> -счетчики	нет решений $n_{\min} = \infty$	17/12	30/2	31	13/12	16/9	26/5	$n_{\min} = 27$
	<i>Dh</i> -генераторы	$n/k = 9/16$ 13/12 16/10 24/2	13/13	30/2	31	11/14	13/12	16/9	27
Затраты на XOR + нелинейный регистр	счетчики	$(n + 2 + c_k) + 2.5 \cdot n$	$7.5 \cdot n + 1 + c_k$		$8.5 \cdot n + 1 + c_k$				
	генераторы	$4.5 \cdot n + c_k$ (GE)	$8.5 \cdot n - 1 + c_k$		$9.5 \cdot n - 1 + c_k$				
ПОЛНО РАЗЯДНОЕ	<i>Dh</i> -счетчики	4/23 8/18 13/12	7/18	8/17	13/13	6/19	8/17	13/12	27
	<i>Dh</i> -генераторы	4/21 8/17 13/12 16/10 24/2	7/18	8/17	13/13	5/19	8/16	13/12	27
Затраты на XOR + нелинейный регистр	счетчики	$3.5 \cdot n + 2 + g_{n,k}$	$7.5 \cdot n + 1 + g_{n,k}$		$8.5 \cdot n + 1 + g_{n,k}$				
	генераторы	$4.5 \cdot n + g_{n,k}$	$8.5 \cdot n - 1 + g_{n,k}$		$9.5 \cdot n - 1 + g_{n,k}$				
Мощность ключевого пр-ва 2^w		$w = v \cdot (n - 1) + k$	$v \cdot (n - 1) + n + k$		$v \cdot (n - 1) + 2 \cdot n + k$				
Условные обозначения: $1 \leq v \leq 4$ – коэффициент разнообразия генерируемых R -последовательностей, $c_k = 0$ без комплексирования с LFSR, $c_k = 1$ для примитивных одночленов и 3, для трехчленов LFSR, $g_{n,k} = \min\{n, k\} + c_k$ – число бит LFSR комплекслируемых с битами Dh -генератора, увеличенное на c_k . Примечание: Затраты на элементы типа XOR даны для конфигураций с памятью хранения ключей, рассчитанной только на считывание (RO), при этом показатель 2^w характеризует глубину тотального перебора, необходимую для вскрытия внутреннего состояния представленных R -генераторов.									

Пример 1. Для реализации на основе CMOS технологий блока аутентификации (защиты от подделки) дешевых (1-5 цента) пассивных меток радиочастотной идентификации (RFID) типа RO (только на считывание), с длиной платформы $n = 16$ бит, требуется $2 \cdot n + 1 = 33$ триггера и около $4.5 \cdot n = 72$ (GE) логических элементов (288 транзисторов), против $0.5 \cdot 10^3 - 10^4$ GE у известных промышленных прототипов ([BRIDGE](#), [RFIDSec](#)). При этом глубина тотального перебора, необходимая для вскрытия внутреннего состояния метки, составляет порядка 2^{60} .

Пример 2. Для реализации на основе CMOS технологий потокового генератора с одноразрядным выходом, периодом 2^{32} , глубиной тотального перебора порядка 2^{93} и с длиной платформы $n = 32$ бит, без учета затрат на хранение и обновление ключей, требуется $2 \cdot n + 1 = 65$ триггеров и около $4.5 \cdot n = 144$ (GE) логических элементов (576 транзисторов).

Пример 3. Для реализации на основе CMOS технологий высококачественного $n = 32$ разрядного генератора гаммы (псевдослучайных чисел) с периодом 2^{32} и глубиной тотального перебора порядка 2^{157} , без учета затрат на хранение и обновление ключей, требуется $3 \cdot n + 1 = 97$ триггеров и около $9.5 \cdot n - 1 = 303$ (GE) логических элементов (1212 транзисторов).

Для обеспечения необходимого уровня аналитической сложности, могут использоваться, как много раундовые преобразования (однонаправленные функции и операторы), так и усечение много разрядного выхода генератора. Последнее наиболее эффективно при несущественно малой части усекаемых бит. В общем, при длинах блоков гаммы 32 и 64 бит, пропускная способность при использовании 1.2 - 0.13μm CMOS технологий, рассчитанная исходя из быстродействия триггеров, может составлять порядка 15 – 425 и 30 – 850, или (0.5 -13) n Гбит/сек.



Примечание. К основным недостаткам регулярного рандомизационного способа относятся односторонний (ламинарный) характер изменения старших значащих бит и относительно медленное распространение влияния младших битов на старшие.

Ко всему, представляемая регулярным рандомизационным способом генерация бесповторных, так называемых последовательностей ключевого потока (идентификаторов, ключей, паролей и пр.), разрядностью от 8 - 256, до 512 - 2048 и более бит, производительностью сотни миллионов и десятки миллиардов ключей в секунду, требует особого рассмотрения.

Нерегулярный рандомизационный способ

Представленные в Таблице 2 и на графиках (Рис.3, Рис.4) варианты, построенные на основе нерегулярного рандомизационного способа (см. также регулярный рандомизационный способ), охватывают приложения, с одной стороны, рассчитанные на среды с крайним дефицитом ресурса, порядка 200-275 логических элементов (GE, 4 транзистора), а с другой, на контроль целостности и сверхскоростную обработку информационных потоков, с производительностью в сотни и тысячи Гбит/сек.

Таблица 2

ОЦЕНКИ $n/\min\{k\}$ КОМПЛЕКСИРОВАНИЯ n-разрядных R-счетчиков и R-генераторов, с k-разрядными LFSR, удовлетворяющие статистич. тестам DIEHARD				
КОМПЛЕКСИРОВАНИЕ генераторов с периодом $T_{n/k} = T_n \cdot \max\{1, 2^k - 1\}$		ПРОТОТИПЫ РЕАЛИЗАЦИЙ		
		МИНИМАЛИСТСКИЕ	ПЕРЕХОДНЫЕ	УСИЛЕННЫЕ
С ЛОКАЛЬНОЙ СВЯЗЬЮ ПО ВЫХОДУ	R-счетчики	$n/k = 8/24 \ 16/18$ 17/17 28/2 $n_{\min} = 29$	5/21 8/21 16/16 17/12 28/2 29	4/24 8/21 16/16 24/6 25
	R-генераторы	7/24 8/23 16/20 17/17 26/4 27	5/22 8/22 16/20 17/15 27/2 28	7/21 8/21 16/16 24/3 25
С ГЛОБАЛЬНОЙ СВЯЗЬЮ ПО ВЫХОДУ	R-счетчики	10/24 16/18 17/17 28/2 29	2/24 4/14 5/9 7/4 8/2 9	2/22 3/14 4/10 5/4 6/3 7/2 8
	R-генераторы	10/24 16/20 17/17 26/6 27	5/24 6/23 7/21 8/17 10/7 11	4/24 6/18 7/14 8/9 9/3 10/2 11
Затраты (GE)	счетчики	$(3.5 \div 4.5) \cdot n + g_{n,k}$	$5.5 \cdot n + g_{n,k}$	$6.5 \cdot n + g_{n,k}$
	генераторы	$(4.5 \div 5.5) \cdot n + g_{n,k}$	$6.5 \cdot n + g_{n,k}$	$7.5 \cdot n + g_{n,k}$
Число триггеров		$2 \cdot n + k$	$3 \cdot n + k$	$4 \cdot n + k$
Мощность ключевого пр-ва 2^w		$w = v \cdot n + k$	$w = v \cdot n + n + k$	$w = v \cdot n + 2 \cdot n + k$
Обозначения: $T_n = 2^u$ – гарантированный, с вероятностью $1 - 2^{-u}$, период R -генератора, при $k = 0$ и $u = n \cdot \max\{1, 24/n_{\min}\}$; $1 \leq v \leq 4$ – коэффициент разнообразия генерируемых R -последовательностей; $g_{n,k} = \min\{n, k\} + c_k$ – число бит LFSR комплексируемых с битами опорного R -генератора, где $c_k = 0$ без комплексирувания с LFSR, $c_k = 1$ для примитивных одночленов и 3, для трехчленов LFSR. Примечание: Затраты на элементы типа XOR даны для конфигураций с памятью хранения ключей, рассчитанной только на считывание (RO), при этом показатель 2^w характеризует глубину тотального перебора, необходимую для вскрытия внутреннего состояния представленных R -генераторов.				

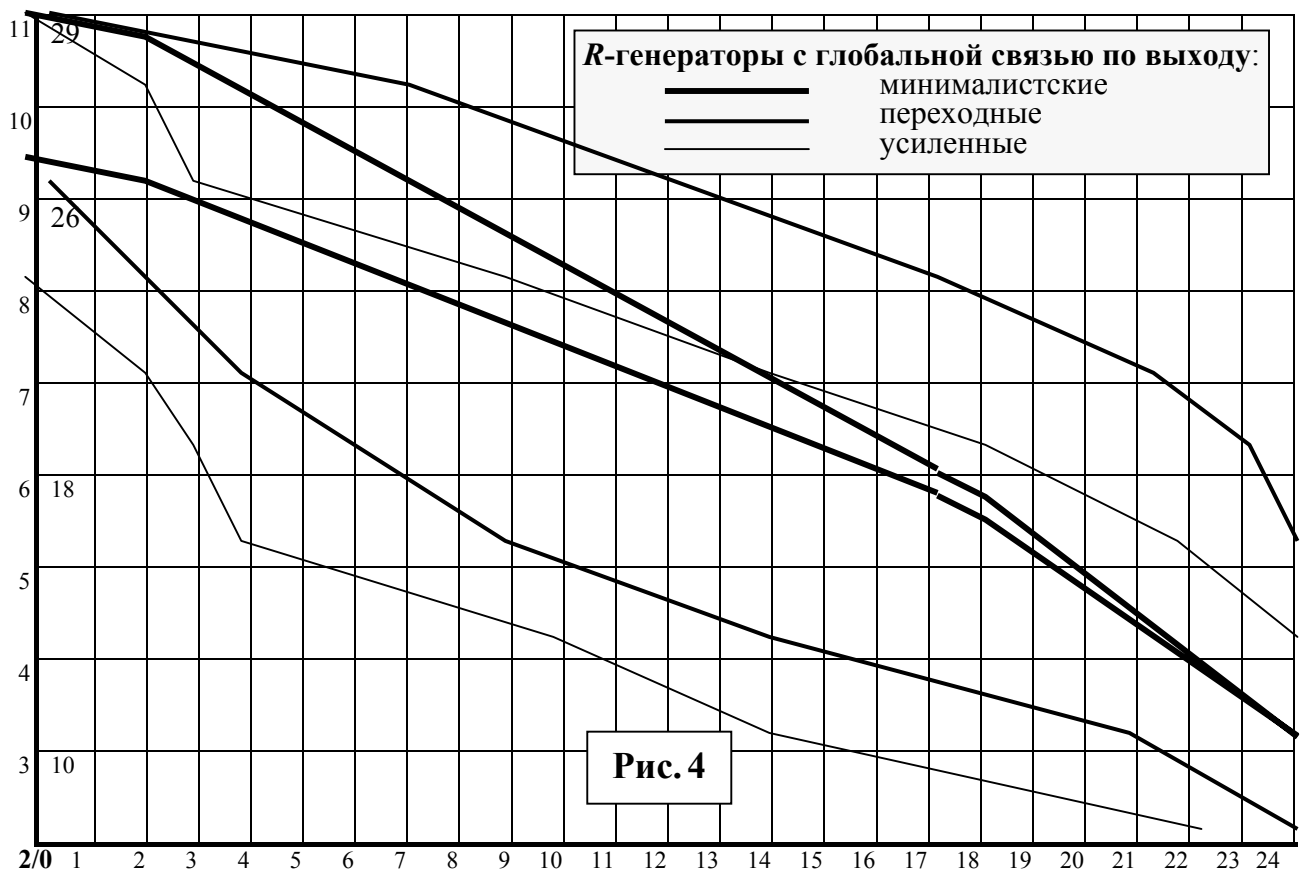
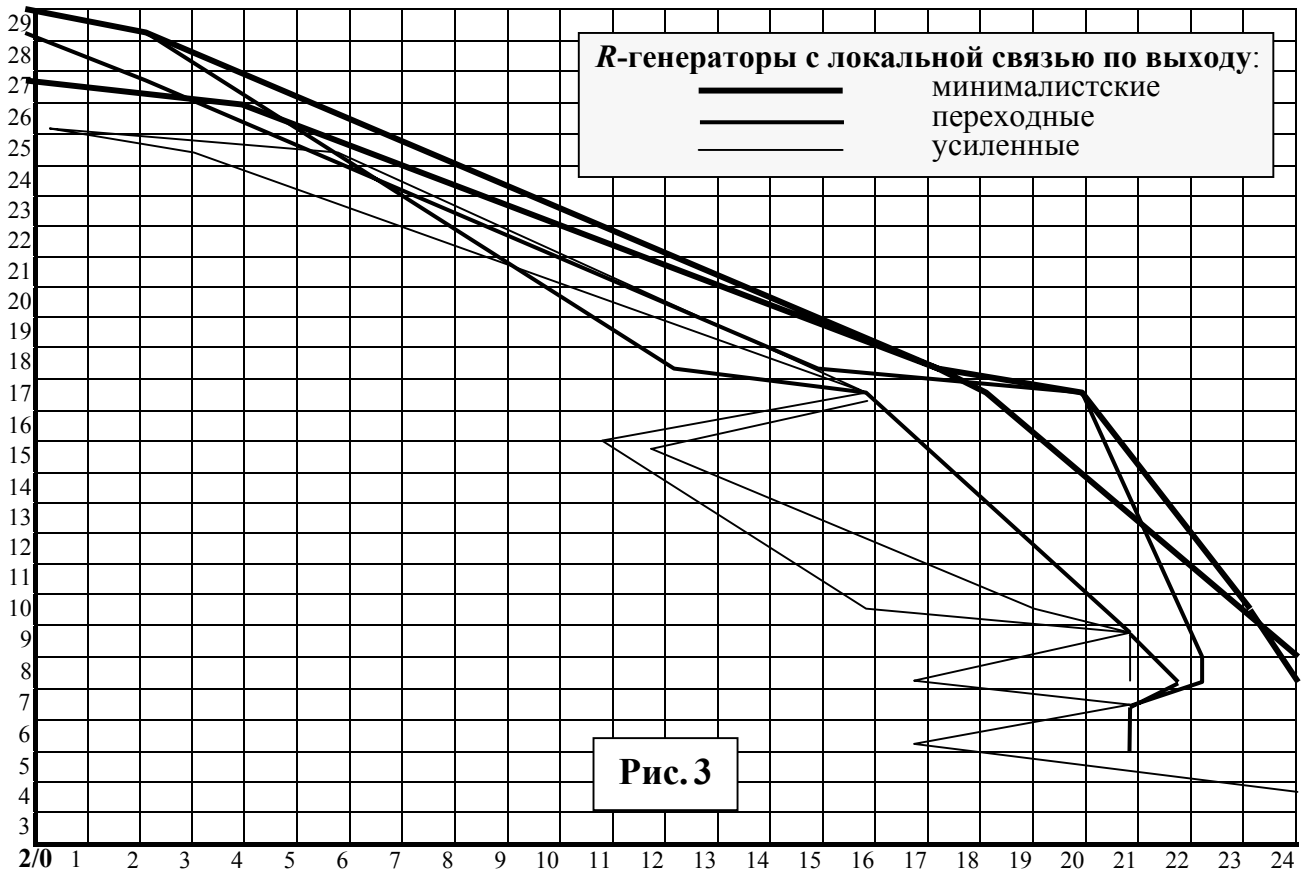
Пример 1. Для реализации на основе CMOS технологий блока аутентификации (защиты от подделки) дешевых пассивных радиочастотных смарт-карт с длиной платформы $n = 32$ бит, требуется, без учета затрат на хранение и обновление ключей, $2 \cdot n = 64$ триггера и около $4.5 \cdot n = 144$ (GE) логических элементов (576 транзисторов), против $10^3 - 3 \cdot 10^4$ GE у известных промышленных прототипов (**NESSIE**). При этом глубина тотального перебора, необходимая для вскрытия внутреннего состояния смарт-карты, составляет порядка 2^{128} .

Пример 2. Для реализации на основе CMOS технологий потокового генератора с одно-разрядным выходом, периодом порядка 2^{64} , глубиной тотального перебора порядка 2^{256} и с длиной платформы $n = 64$ бит, требуется, без учета затрат на хранение и обновление ключей, $2 \cdot n = 128$ триггеров и около $4.5 \cdot n = 288$ (GE) логических элементов (1152 транзистора).

Пример 3. Для реализации на основе CMOS технологий высококачественного $n = 128$ разрядного генератора гаммы (псевдослучайных чисел) с периодом порядка 2^{280} и глубиной тотального перебора порядка 2^{512} , требуется, без учета затрат на хранение и обновление ключей, $3 \cdot n = 384$ триггера и около $6.5 \cdot n = 832$ (GE) логических элементов (3328 транзисторов).

Для обеспечения необходимого уровня сложности, могут использоваться, как много раундовые преобразования, так и усечение выхода генератора. Последнее наиболее эффективно при несущественно малой части отсекаемых бит.

В общем, при длинах блоков гаммы 64 и 128 бит, пропускная способность при использовании 1.2 - 0.13μm CMOS технологий, рассчитанная исходя из быстродействия триггеров, составляет порядка 30 - 850 и 60 - 1700, или (0.5 - 13) n Гбит/сек.



Примечание. К основным недостаткам нерегулярного рандомизационного способа, не усиленного линейным рекуррентным способом, представляемого полем Галуа $GF(2)$, относятся возможность их вырождения, в нашем случае до периода T_n , пропорциональным n , хотя и вероятность такого вырождения чрезвычайно, а при комплексировании с **LFSR** исчезающе, мала.

Ко всему, представляемые нерегулярным рандомизационным способом варианты реализаций могут выступать в качестве высокоэффективных прототипов однонаправленных функций, в частности, хеш-функций и MAC, используемых для контроля целостности информации.

Рандомизационный метод предполагает развитие, без заметного увеличения аппаратных затрат. В качестве примера, в Таблице 3 и на Рис.5 приведены, построенные на его основе более качественные, по отношению к упомянутым вариантам, полнофункциональные R -генераторы.

Таблица 3

ОЦЕНКИ $n/\min\{k\}$ КОМПЛЕКСИРОВАНИЯ по DIENARD полнофункциональных n -разрядных R -генераторов с нелинейной связью по выходу, с k -разрядными LFSR												
КОМПЛЕКСИРОВАНИЕ генераторов с периодом $T_{n/k} = T_n \cdot \max\{1, 2^k - 1\}$	ПРОТОТИПЫ РЕАЛИЗАЦИЙ											
	МИНИМАЛИСТСКИЕ			ТИПОВЫЕ			УСИЛЕННЫЕ					
ОДНОЭЛЕМЕНТНАЯ нелинейная обратная связь Затраты (GE) Число триггеров	7/24 8/23 12/19 16/16	2/22 3/17 4/11 5/10	2/24 3/12 4/9 5/4	26			8			6		
	$(4.5 \div 5.5) \cdot n + 6 + g_{nk}$			$6.5 \cdot n + 6 + g_{nk}$			$7.5 \cdot n + 6 + g_{nk}$					
	1	$2 \cdot n + 1 + k$			3	$3 \cdot n + 1 + k$			5	$4 \cdot n + 1 + k$		
ПОЛНОЭЛЕМЕНТНАЯ нелинейная обратная связь Затраты (GE) Число триггеров	6/23 7/22 8/23 16/4	2/21 3/13 4/10 5/5	2/24 3/24 4/5	18			7			5		
	$9.5 \cdot n + g_{nk}$			$10.5 \cdot n + g_{nk}$			$11.5 \cdot n + g_{nk}$					
	2	$3 \cdot n + k$			4	$4 \cdot n + k$			6	$5 \cdot n + k$		
Мощность пр-ва ключей 2^w	$w = v \cdot n + k$			$w = v \cdot n + n + k$			$w = v \cdot n + 2 \cdot n + k$					

Примечание: Затраты на элементы типа XOR даны без учета затрат на хранение и обновление ключей.

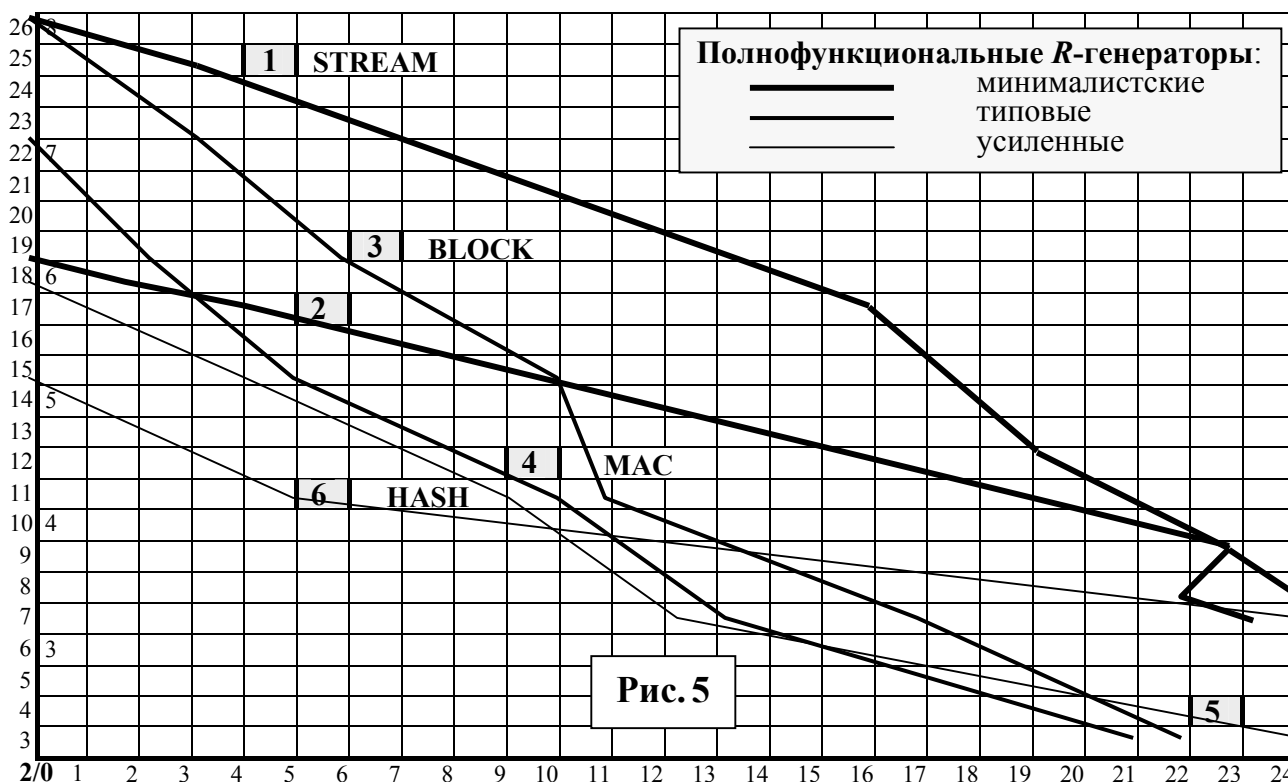


Рис. 5

Выводы. Как следует из указанных результатов, представляемые рандомизационным способом односторонние функции и генераторы, по своим статистическим показателям, периоду, силе лавинных эффектов, функциональной сложности и присущей им существенной нелинейности, не уступают уровню имеющихся разработок. Причем, представленные в Таблице 3 варианты 1, 2, 5, 6 не только не уступают лучшим аналогам, таким, как Grain, Trivium, (AES, ГОСТ 28147-89), SHA и ГОСТ Р 34.11-94 и др., соответственно, но и не в ущерб функциональной сложности и при минимальном уровне аппаратных затрат, превосходят их по упомянутым показателям.

Рандомизационные генераторы строятся на единой, рассчитанной на бессрочную перспективу, технологической базе, охватывают все известные платформы и приложения, требуют в десятки раз меньших аппаратных и энергетических затрат, обладают в сотни раз более высокой производительностью, что дает возможность осуществить качественный скачок в области стохастических технологий и систем передачи и обработки информации (random-art.ru).